

Evolving New State-of-the-Art for Voronoi Diagram and Distance Transform From JFA Using AutoML

MACIEJ A. CZYZEWSKI, Poznan University of Technology, Poland
KAMIL PIECHOWIAK, Poznan University of Technology, Poland

This paper studies a practical usage of machine learning (AutoML) to automate research towards discovering efficient Voronoi Diagram and Distance Transform algorithms. As the baseline we used the Jump Flooding Algorithm (JFA) - by finding new mutations which works best for specific data, and then ensembling them into one, we create new state-of-the-art algorithm in this field named **Vorotron** with best-case $O(1)$ time complexity and $O(N)$ work complexity - in addition, we introduce **JFAStar**, a single variant that in most cases outperforms original JFA with proven worst-case $O(\log^* N)$ time complexity. The algorithm is faster and produces more accurate approximations. It could be extended into 3D space in a slice-by-slice manner. We started from the assumption that JFA has potential for improvement - some benefits can be observed for specific data by adding random noise and adjusting the step size in JFA. This showed us that, AutoML could examine this space, and find the best possible algorithm in each case. In the further part of the work, we discuss the results, compare the variants and ensemble for creating the final algorithm.

CCS Concepts: • **Computing methodologies** → **Computer graphics**; **Parallel computing methodologies**; • **Theory of computation** → *Randomness, geometry and discrete structures*; **Data structures design and analysis**.

Additional Key Words and Phrases: Voronoi Diagram, Distance Transform, Code Generation

1 INTRODUCTION

This paper¹ studies a practical usage of machine learning to automate research towards discovering efficient Distance Transform algorithms (utilizing technique known as AutoML). Thus, by finding mutations which works best for specific data, and then ensembling them into one, we create new state-of-the-art algorithm in this field named **Vorotron** with best-case $O(1)$ time complexity and $O(N)$ work complexity. In addition, we introduce **JFAStar**, a single variant that in most cases outperforms original JFA with proven worst-case $O(\log^* N)$ time complexity.²

Notable contribution to the quick algorithm that makes Distance Transform (DT) using graphics hardware includes [5] that creates a cone for each input (point/seed) and renders those cones to obtain the Voronoi diagram as the lower envelope of these cones. [4] use planes tangent to a paraboloid and thus avoid the errors caused by the tessellation of the cones. Unfortunately, the drawback of this approach is the significant amount of computation and the implementation complexity.

Jump flooding algorithm (JFA)³ is an interesting way to utilize the graphics processing unit to efficiently compute Voronoi diagrams and distance transforms [9]. This method is faster and produces more accurate results [10], and furthermore, it could be extended into 3D space in a slice-by-slice manner. This is more effective than the previous research carried out by [12], because the speed of JFA is almost independent to the number of seeds [10].

¹the original title for this paper was “Lord Vorotron: Finding the Best JFA Variant for the Coming Winter”

²source code is available at https://github.com/maciejczyzewski/fast_gpu_voronoi

³a novel pattern of communication

Based on this research and findings, several efficient GPU-based algorithms which are either work optimal or time optimal have been proposed including SKW [11], PBA [2], FastGPU [3], Honda's algorithm [6] and WTO [7]. The main question that needs to be addressed is whether JFA has potential for improvement. We found some benefits for specific data by adding random noise and adjusting the phase size in JFA. Therefore, this shows that, AutoML could examine this unknown space, and find the best possible algorithm in each case.

For convenience, this work focus on the Voronoi diagram only - because this problem can be translated to DT [9]. The algorithm would be an approximation of the output, thus we suggest using WTO [7] for exact DT (EDT). The major contributions of this paper are thus:

- (1) Presenting new envolved state-of-the-art variants of algorithm for Voronoi Diagram and Distance Transform: **JFAStar** - Multi-domain single variant, replacement of JFA; **Vorotron** - Ensemble of domain-specific variants, production ready; and
- (2) Analyzing all possible variants of JFA: comparing error and speedup relative to bruteforce method in different domains.

2 RELATED WORK

Several efficient GPU-based algorithms which are either work optimal or time optimal have been proposed including JFA [9], SKW [11], PBA [2], FastGPU [3], Honda's algorithm [6] and WTO [7].

| Reference | Algorithm | Exactness | Time | Work |
|---------------|--------------|--------------------|--------------------|----------------------|
| [3] | FastGPU | Exact | $O(n^3/p)$ | - |
| [2] | PBA | Exact | $O(n)$ | $O(mN)$ |
| [6] | based on SKW | Exact | $O(n)$ | $O(N)$ |
| [7] | WTO | Exact | $O(\log n)$ | $O(N)$ |
| [11] | SKW | Approximate | $O(n)$ | $O(N)$ |
| [9] | JFA | Approximate | $O(\log n)$ | $O(N \log n)$ |
| In this paper | JFAStar | Approximate | $\sim O(\log^* n)$ | $\sim O(N \log^* n)$ |
| | Vorotron | Approximate | $\sim O(1)$ | $\sim O(N)$ |

Table 1. Different GPU algorithms for computing EDT

The original author of JFA⁴ defined some variants and modifications [10], in this work we continue on this subject and examine the relationship between them. We chose this algorithm because it is the simplest to implement and it has a wide variety of improvements.

2.1 Jump Flooding

Algorithm for Voronoi Diagram that uses jump flooding as communication pattern propagates the information (2D coordinates and ID) of all sites to all the pixels in the matrix. It is based on the observation that while flooding an area with a seed, each seeded pixel can transmit its information, instead of just the ones on the boundaries of the Voronoi cell.

In each round, the site information stored in each pixel (x, y) is propagated to at most eight other pixels at $(x + i, x + j)$ where $i, j \in \{-k, 0, k\}$, and k is the step length of the current round.

⁴Guodong Rong

In the first round, we use $n/2$ as the initial step length to ensure that each pixel is reached by at least one site. The step length k is halved in each of the following round. All pixels are processed in parallel by the GPU. This ensures an exponential increase in the number of seeded pixels in a grid and thus, can be flooded in $O(\log n)$ rounds, for an $n \times n$ grid [13].

2.2 AutoML

Program synthesis is a class of regression problems where one seeks a solution, in the form of a source-code program, mapping the inputs to their corresponding outputs errorless [8]. If we have a broad range of acceptable solutions, another aspect is how efficient the produced code is.

There are two key ingredients to a synthesis problem: a domain specific language (DSL for short) and a specification. The DSL defines a space of candidate programs which serve as the model class. DSL-based models create different grammar rules for common code statements (e.g., control flow, comments, and brackets). The specification is commonly expressed as a set of input-output examples which the candidate program needs to fit exactly. In our problem, these examples are produced by brute-force algorithm.

Given the precise and combinatorial nature of synthesis, gradient-descent based approaches perform poorly and an explicit search over the solution space is required [1].

3 PROPOSED METHOD

przepisać ten szkic bo język się placzy

JFA opiera się na tym że informacja jest przekazywana ??????. Przekazanie odbywa się w $\log(n)$ krokach. Więc przeprowadziliśmy krótki eksperyment aplikując losowy szum na wejściową masę. Okazało się że ilość potrzebnych kroków spadła - powstały losowe shortcuty. Co oznacza że powinny istnieć inne "mutacje" algorytmów lepsze w pewnych określonych przypadkach. Więc szukanie najszybszego algorytmu będzie następujące:

- Wymyślenie wszystkich możliwych wariantów JFA
- Mutacje i zapisanie najlepszych wersji dla danej domeny
- Ensemblacja algorytmów tak aby wybierać najlepszy wariant dla danej domeny

3.1 Domain Space

okay, zupełnie inaczej tutaj podejść, opisać jakie są przypadki i jakie są spotykane jakie domeny i dlaczego (i jak działały gen_uniform, gen_polar, gen_grid)
KWADRAT TUTAJ???????? (komentarz latex)

| Density \ Shape | Shape | | |
|------------------------------|-----------------|-------------------|-------------------|
| | Small (32-128×) | Medium (256-448×) | Large (512-1536×) |
| Low ($\rho=0.00005-0.001$) | Brute-force | Brute-force | JFA |
| High ($\rho=0.01-0.1$) | JFA | JFA | JFA |

Table 2. State-of-the-art for specific domains (before our work).

3.2 Search Space

UWAGA: opisać że szukamy 4 podprzestrzenie w turach! (może też o nowym wzorku który szuka tylko prawidłowych

bridge z score function gdziekolwiek to będzie obliczyć ile jest aktualnie wersji algosów np. czy jest to już 2do14 jak mamy 3xreal w wielomianie AKTUALNIE JEST około 7,200?

jakie modyfikacje, na to osobna sekcja? więc co tu napisać chyba tylko o złożoności problemu i że kod jest składany i testowany a niektóre wersje są pomijane zgodnie z działaniem gp_minimize (Bayesian optimization using Gaussian Processes).

w naszym wypadku zdefiniowaliśmy pewien zbiór wariantów pewnych części algorytmu (Search Space), moduł testujący daną mutację/wariant - składa kod kernela a później go weryfikuje na naszej Domain Space.

3.3 Score Function

JEST PROBLEM - zdają się warianty które 0zerują rzadkie i są bardzo szybkie na duże matryce - trzeba do ponownie zbalansować różnica w pikselach pomiędzy bruteforce a algorytmem - napisać o tym / też że to wszystko to ilorazy do bruteforce

dla voronoi-a interesują nas 2 parametry Error oraz Szybkość, aby wyniki były wiarygodne porównujemy je z bruteforcem (a więc będzie to iloraz). aby ocenić daną mutację musimy przypisać jakiś Score danej wersji, więc użyliśmy wzoru poniżej

$$S(x, y) = \max\{0, \sqrt{x} \cdot (100 - y^2)\}, \quad (1)$$

$$0 \leq y \leq 100, 0 < x \quad (2)$$

który kaže za zbyt wysokie error, dając zerowy wynik - składnik przy y rośnie szybciej niż x więc gdy przekroczy 100 da nam ujemny wynik - czyli 0.

3.4 Optimizer

opisać dwie osobne taktyki optymalizacji dla best single vs. ensemble

możemy napisać że korzystaliśmy z forest/gp minimize, ale też wspomnieć że aby mieć najlepszy best single to trzeba było optymalizować równocześnie całą przestrzeń (od małych do dużych, gęstych po rzadkie), a żeby mieć najlepszego Vorotrona - czyli ensemble'a to trzeba było dla każdej domeny z optymalizować a później jedynie zrobić balancera!!!!!!!!!!!!

trzeba to przeszukiwać tak aby nie sfiksował na zadanych parametrach - bo nie chcąc oceniać na początku że szum/dual jest nie fajny i później go już nie rozwiąza

3.5 Ensemble

można zapisać tabele dla każdej domeny (shape) / i zrobić przewidywania parametrów (słownik wariantu) - bo dla małych opłacalne są Circle6 a dla większych Circle12 i tak dalej - jak to zrobić?

patrzeć na rezultaty możemy znaleźć jaki algorytm najlepiej sprawdza się w zadanej domenie. np. widać że dla małej ilości seedów (mało gęstych przypadków, które mają małą powierzchnię) opłaca się użyć bruteforce. Dla kolejnych większych przypadków innych wariantów JFA. Jak wybrać algorytm? Każdy przypadek ma 'shape' oraz 'num' więc można na CPU wysempłować parę punktów albo od razu obliczyć gęstość i wybrać odpowiedni algorytm. To takich ensemble'acji najlepiej sprawdzi się drzewo decyzyjne (może być boostowane).

4 VARIANTS

ZROBIC ŁADNE RYSUNEKZKI w Google Slides - eksport to pdf!

To compute the Voronoi diagram for a 2D grid of size $n \times n$ with a given set of seeds at some grid points, we are interested to propagate the content (in particular, position information) of each seed s to each grid point so that each grid point can decide which seed is its closest one.

Niektóre operacje propagacji informacji są zbędne - tylko w przypadkach rzadkich macierzy potrzeba jest $\log(n)$ kroków aby uzyskać prawidłowy wynik. Różne warianty omawiane w [10] pozwalają zredukować błąd klasycznego JFA. Nie zostały jednak omawiane przypadki gdzie poszczególne modyfikacje są używane z innymi.

Dlatego w tej pracy prezentujemy dodatkowe modyfikacje które można zastosować aby stworzyć nowe warianty. Pewne modyfikacje są oczywiste i wynikają z alternatywnego podejścia (zamiast anchoru⁵ kwadratowego można użyć koła), informacje można wstępnie rozpropagować losowo - w nadziei że pozwoli nam skończyć algorytm w mniejszej ilości kroków.

Aby badania były bardziej przejrzyste trzymaliśmy się pewnej konwencji nazewnictwa:

`[anchor_type][anchor_num][anchor_double] - [step_function] + [noise]`

dla przykładu `Circle11(1/3)Dual(1/4)-Factor3+Noise` które można przeczytać jako:

```
[anchor_type] = Circle,
[anchor_num] = 11,
[anchor_number_ratio] = 1/3,
[anchor_double] = True,
[anchor_distance_ratio] = 1/4,
[step_function] = Factor3,
[noise] = True
```

4.1 Noise

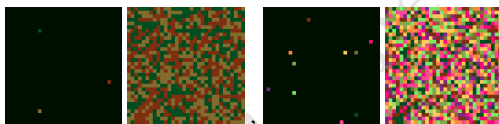


Fig. 1. Noise for 32×32

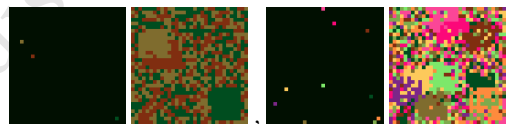


Fig. 2. Local Noise for 32×32

FIXME: figure z przykładami szumu (+local) i jak to wygląda i jak wyglądało instancja!

Zamiast zaczynać od pustej macierzy z seed-ami początkowymi można ją losowo uzupełnić szumem - tworząc przypadkowe short-cuty. Można tego dokonać osobnym kernelem który zostanie wywołany przed wykonaniem głównej części algorytmu. Interpretacja jest taka że pewne rejony które w JFA są wypełnione zerami podczas pierwszych iteracji nie podejmują żadnych decyzji. Uzupełniając szumem mogą one przypadkowo ustawić się na prawidłową wartość i propagować w kolejnej rundzie najlepszą wartość w swoim otoczeniu (zgodnie ze stepem).

dowód kamila tutaj????????????????

4.1.1 Local Noise. przesunięta ciężkości??? czyli średnia z wagami poprawiła? a może uzależnić wagę od rozmiaru pierwszego stepu?

Można też szum uzupełniać nie losowo tylko w otoczeniu. Więc gdy w punkcie (x, y) wylosujemy losowego seed-a o wartości (x_{rand}, y_{rand}) to wyliczamy nową pozycję (x', y') która znajduje się w połowie drogi w następujący sposób: $x' = \frac{x+3x_{rand}}{4}$, analogicznie dla y' . Dodatkowo jeśli (x', y') jest pusta to też uzupełniamy to pole tą informacją. Nie przejmujemy się wyciągiem w dostępie do danych. Nadpisania będa losowe - a szum też.

⁵anchorem nazywamy metodę która pobiera sąsiadów do przekazania informacji

4.2 Anchor Type

losowane punkty na okregu???

Zamiast pobierac informacje od 8 sasiadow o step size from grid points at $(x + i, y + j)$ where $i, j \in \{-\text{step}, 0, \text{step}\}$. Mozna zastosowac okrag - otwiera nam to nowe mozliwosci na swobodna modyfikacje ilosci punktow od ktorych bedziemy pobierac informacje. Naturalnie wydaje sie ze mala ilosc punktow w anchorze spowoduje wzrost bledu, a duza ilosc punktow spowoduje zmalenie bledu.

4.2.1 Anchor Number. Dlatego kolejnym parametrem bedzie mozliwosc kontrolowania ilosci punktow. Niestety nie rozwazalismy wariantu kwadratow o dowolnej ilosci punktow (poniewaz byly by to wielokrotnosci $2 \times 2 = 4$, $3 \times 3 = 9$, $4 \times 4 = 16$, $5 \times 5 = 25$) bo i tak nie dalo by sie wybrac uniformly tej wartosci. Dla okregu punkty sasiada (x_i, y_i) byly liczone nastepujaco:

$$x_i = x + \text{step} \cdot \cos\left(\frac{2\pi}{[\text{anchor_num}]} \cdot i\right), y_i = y + \text{step} \cdot \sin\left(\frac{2\pi}{[\text{anchor_num}]} \cdot i\right)$$

4.3 Anchor Double

Oprocz pojedynczego anchora, mozliwe jest uzycie podwojnej warstwy anchorow (czyli np. male kolko i wieksze). Idea za tym stojaca to ze male kolko wewnetrzne jest dokladne (dziala jak w JFA) - a wielkie zewnetrzne jest skautujace lub aby poprawic error wynikajacy np. z mniejszej ilosci anchor_num (w sumie to podobny mechanizm jak w Lookahead - wolny/szybki)

4.3.1 Anchor Distance Ratio. Parametr mowiacy o stosunku dlugosci step size od wewnetrznego anchora do zewnetrznego.

4.3.2 Anchor Number Ratio. Parametr mowiacy o statusunku ilosci detektorow od wewnetrznego anchora do zewnetrznego.

4.4 Step Function

Gdy nasza informacja propaguje sie szybciej lub jest bardziej zageszczona dlatego sasiedzi szybciej dostaja prawidlowa informacje - to oznacza ze mozna skrocie ilosc round wykonania algorytmu.

Step size jak i ich ilosc mozna okreslic za pomoca 2 podstawowych parametrow: shape and number of points - z ktorych pozniej mozemy okreslic np. srednia gestosc. Zaimplementowalismy 2 warianty ktore sa uzaleznione jedynie od shape: defaultowy z JFA, z JFA o podstawie 3; oraz jeden uzaleny od shape oraz od num: logstar. Jednak aby wygeneralizowac problem stworzyalismy tez mozliwosc wygenerowania dowolnego polynomialu.

4.4.1 Special Polynomial. powinno byc ograniczone do 3 PARAMETROW! wymyslis nowa funkcje problem z Special - on overfituje przyklady zmieniajac 5 miejsce po przecinku aby 2 zamienialo sie np. w 1

Implementacja nie jest wazna - chodzi o idea zwiazania shape oraz num. Oraz modyfikowanie wartosci, szybkoosci spadku, ksztaltu (np. piloksztnego) - jakimis parametrami. Wada tego rozwiazania jest ze trzeba optymalizowac ta funkcje na calej dziedzinie (malej, duzej, gestej, zadkiej) - bo inaczej z overfituje ona ilosc krokow i wiekosc stepu pod rozmiar.

```
def mod_step_function__special(shape, num=None, config=None):
    # [EXAMPLE]
    # Special(1.51/0.92/0.92/1.08/0.42)
    # ----- A -- B -- C -- D -- X ---
    A = config["A"] # <1, 2>
```

```
B = config["B"] # <0, 1>
C = config["C"] # <0, 1>
D = config["D"] # <1, 2>
X = config["X"] # <0.2, 1>

q = num / (shape[0] * shape[1])
qm = ((shape[0] + shape[1]) / 2) * q*(1 / 2)
S = B * qm + (1 - B) * (max(shape) / 2)
St = math.log2(S)

steps = []
for i in range(1, int(X * St * 2), 1):
    f = round(1 / (D**(i**A) + i % max(1, int(C * St))), 4)
    ffm = int(f * S)
    if ffm >= 1:
        steps.append(ffm)
if len(steps) == 0:
    return [1]

return steps
```

5 RESULTS

przeniesc legende? JAKO OSOBNY PDF? i podac w tej sekcji - tak sie nie robi ale bylo by ok i czytelnie + wiecej miejsca na wykresy a przypadkow bedzie wiecej czy wykres loss oraz score dla przypadkow powinny byc nalozony? albo polaczony subfigurem tak aby osie byly sync. i dalo sie porownac

performance plot⁶

UWAGE: usunac z tabelk PODOBNE ALGORYTMY i ich slabsze rezultaty

| Density \ Shape | Small (32-128×) | Medium (256-448×) | Large (512-1536×) |
|------------------------------|-----------------|-------------------|-------------------|
| | | | |
| Low ($\rho=0.00005-0.001$) | Bruteforce | ? | ? |
| High ($\rho=0.01-0.1$) | ? | ? | ? |

Table 3. Found in this paper state-of-the-art for specific domains.

5.1 Multi-domain Variant (JFAStar)

- **shapes:** {32x32, 64x64, 96x96, 128x128, 256x256, 320x320, 384x384, 448x448, 512x512, 768x768, 1024x1024, 1536x1536}
- **cases:**
 - gen_uniform: seeds=1,
 - gen_uniform: seeds=3,
 - gen_uniform: density=0.0001,
 - gen_uniform: density=0.001,
 - gen_uniform: density=0.01,

⁶wykres zostal zrobiony poprzez posortowanie scorow - dzieki temu widac roznice w przyroscie i latwo dostrzec ktory algorytm ma najwyzszy score lub jaka ma chaktersytyke (np. jest bardzo skuteczny dla waskiej grupy przykladow)

- gen_uniform: density=0.02,
- gen_uniform: density=0.03,
- gen_uniform: density=0.04,
- gen_uniform: density=0.05,
- gen_uniform: density=0.1,

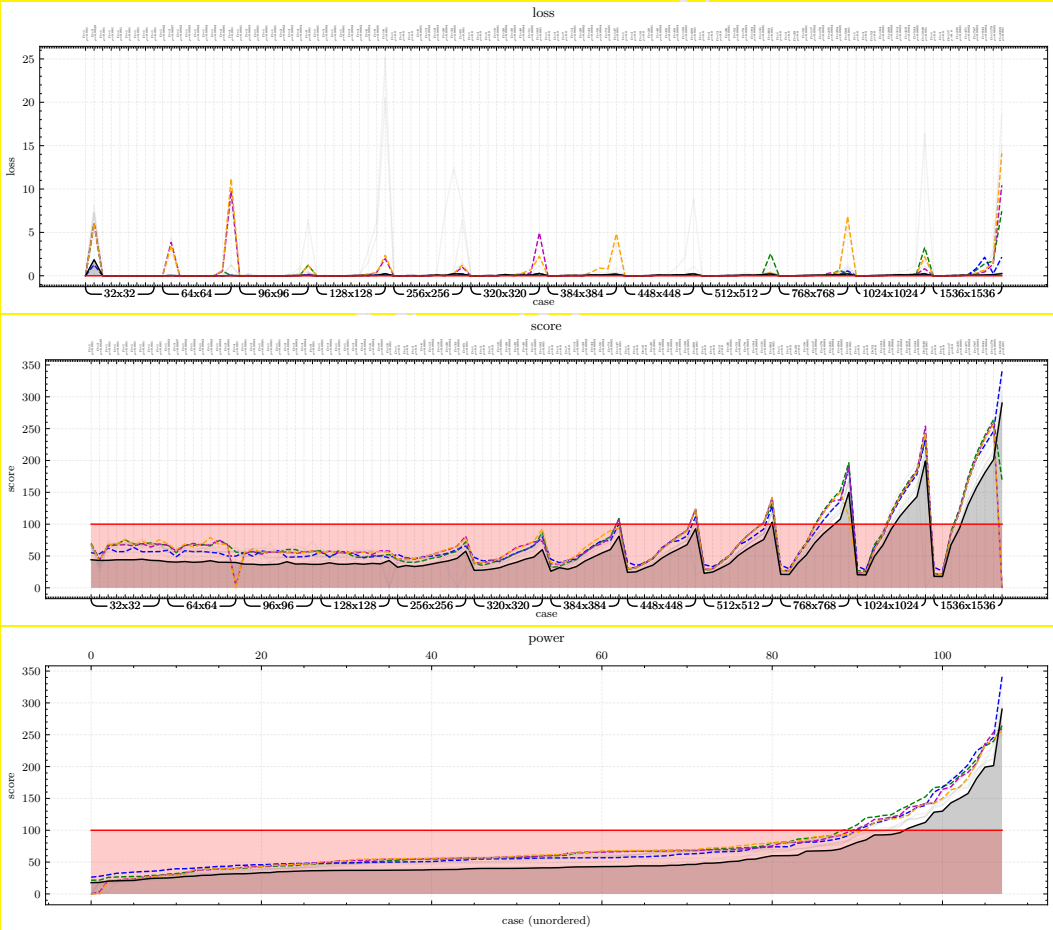


Fig. 3. bla bla bla

| Algorithm | $\rho=0.0003$ | $\rho=0.0002$ | $\rho=0.0003$ | $\rho=0.0004$ | $\rho=0.0008$ | Score |
|--|---------------|---------------|---------------|---------------|---------------|-------|
| Square Special(1.92/0.9/0.68/1.2/0.67)+Noise | 40.4 | 51.1 | 74.8 | 95.1 | 113.6 | 74 |
| Square Star+Noise | 44.5 | 50.5 | 71.2 | 87.9 | 115.8 | 73 |
| Square Special(1.98/0.8/0.95/1.2/0.46)+Noise | 40.8 | 51.5 | 74.7 | 95.5 | 102.6 | 72 |
| Square Special(1.47/0.68/0.75/1.52/0.41)+Noise | 41 | 51.9 | 75.5 | 96.7 | 98.3 | 69 |
| Square Special(1.46/0.81/0.68/1.33/0.5)+Noise | 39.6 | 50.9 | 73 | 88.1 | 112.1 | 69 |
| Square Special(1.98/0.69/0.74/1.22/0.49)+Noise | 37.4 | 49.5 | 71.2 | 91.7 | 102.6 | 66 |
| Square Special(1.14/0.8/0.61/1.38/0.62)+Noise | 34.6 | 44.9 | 64.7 | 80.4 | 108.7 | 66 |
| SquareDual(1/3) Special(1.56/0.88/0.57/1.64/0.39)+Noise | 39.1 | 48.5 | 67.5 | 85.7 | 98.2 | 65 |
| Square Special(1.97/0.79/0.61/1.24/0.61)+Noise | 37.9 | 49.5 | 72.8 | 93.4 | 88.2 | 64 |
| Square Special(1.92/0.55/0.61/1.1/0.53)+Noise | 33.7 | 41.8 | 60.9 | 77.5 | 105.4 | 63 |
| Square Special(1.83/0.69/0.81/1.24/0.45)+Noise | 38.3 | 49.5 | 72.5 | 92.7 | 102.5 | 62 |
| Square Factor3+Noise | 31 | 39.4 | 58.9 | 76.2 | 105.3 | 61 |
| Square Special(1.84/0.65/0.84/1.26/0.52)+Noise | 37.2 | 48.8 | 70.3 | 89.7 | 101.9 | 60 |
| Square Special(1.8/0.65/0.58/1.27/0.59)+Noise | 36.9 | 46 | 67.5 | 86.8 | 98.0 | 59 |
| Square Special(1.94/0.64/0.8/1.28/0.4)+Noise | 40.1 | 52 | 77.7 | 96.3 | 88.2 | 58 |
| Square Special(1.82/0.71/0.73/1.2/0.42)+Noise | 40.4 | 51.5 | 75.1 | 94.4 | 82.5 | 58 |
| Square Special(1.33/0.5/0.7/1.26/0.46)+Noise | 35 | 46.1 | 65.8 | 80.9 | 81.3 | 57 |
| SquareDual(1/3) Special(1.71/0.06/0.95/1.46/0.34)+Noise | 32 | 38 | 54.2 | 68.8 | 92.2 | 56 |
| Square Special(1.93/0.64/0.92/1.21/0.98)+Noise | 34.6 | 43.9 | 65.6 | 85.4 | 96.7 | 56 |
| JFA (original) | 30.2 | 37.2 | 54.2 | 69.2 | 94.4 | 56 |
| SquareDual(1/3) Special(1.51/0.46/0.97/1.88/0.57)+Noise | 31.7 | 39.1 | 56.7 | 72.8 | 83.4 | 55 |
| SquareDual(3/4) Star+Noise | 34.8 | 38.6 | 52.9 | 65.7 | 84.8 | 54 |
| SquareDual(1/3) Star+Noise | 35.4 | 38 | 52.5 | 65.1 | 83.5 | 54 |
| SquareDual Star+Noise | 34.6 | 38 | 52 | 65.2 | 83.3 | 54 |
| SquareDual(1/3) Special(1.2/0.9/0.84/1.96/0.44)+Noise | 38.6 | 47.2 | 65.7 | 73.5 | 95.8 | 53 |
| Square Default+Noise | 26.6 | 33.6 | 49.9 | 64.1 | 88.7 | 52 |
| Circle10(1/4) Special(1.58/0.9/0.64/1.16/0.6)+Noise | 29.3 | 34.7 | 46.8 | 57.1 | 72.9 | 47 |
| SquareDual(1/3) Special(1.45/0.85/0.74/1.95/0.34)+LNoise | 40.2 | 44.2 | 45.2 | 54.6 | 56.7 | 45 |
| Circle11(1/3) Star+Noise | 30 | 32.5 | 44.5 | 51.7 | 67.4 | 44 |
| SquareDual Special(1.48/0.39/0.84/1.34/0.72)+Noise | 24 | 29.9 | 42.8 | 54.7 | 74.6 | 44 |
| Circle11(3/4)Dual(2/3) Factor3+Noise | 24.7 | 30 | 43.1 | 56.1 | 69.9 | 44 |
| Circle9(1/4) Star+Noise | 31.8 | 35.1 | 47.6 | 49.9 | 61.9 | 44 |
| Circle9(3/4) Star+Noise | 31.9 | 34.6 | 47.1 | 50.8 | 61.8 | 44 |
| Circle12(1/3) Star+Noise | 28.6 | 32 | 42.7 | 51.2 | 65.5 | 43 |
| Circle14(1/4) Special(1.38/0.71/0.93/1.77/0.95)+Noise | 24.3 | 29.4 | 41.5 | 51.5 | 62.2 | 41 |
| SquareDual(1/3) Special(1.51/0.46/0.97/1.88/0.57)+Noise | 40.9 | 51.6 | 73.7 | 92.9 | 73.2 | 40 |
| SquareDual(3/4) Default | 22.5 | 27.6 | 39.1 | 49.7 | 66.9 | 40 |
| SquareDual Default | 22.6 | 27.3 | 38.8 | 49.2 | 65.7 | 40 |
| SquareDual(1/3) Default | 21.6 | 26.7 | 38.2 | 48.2 | 66.2 | 39 |

5.2 Domain-specific Variants

5.2.1 *Small Shape*: 32×32 , 64×64 , 96×96 , 128×128 . **Square-Special(1.44/0.96/0.17/1.63/0.86)+Noise**
and **Square-Special(1.07/0.24/0.9/1.88/0.64)**

--- (62) Square—Special(1.44/0.96/0.17/1.63/0.86)+Noise
 --- (61) Square—Special(1.32/0.96/0.28/1.68/0.76)+Noise
 --- (61) Square—Special(1.21/0.96/0.3/1.23/0.8)+Noise
 --- (60) Square—Special(1.17/0.95/0.55/2.0/0.89)+Noise
 --- (60) Square—Special(1.61/0.92/0.37/1.74/0.75)+Noise
 --- (60) Square—Special(1.15/0.94/0.02/1.93/0.75)+Noise
 --- (60) Square—Special(1.24/0.94/0.36/1.93/0.78)+Noise
 --- (60) Square—Special(1.34/0.9/0.67/1.78/0.97)+Noise
 --- (60) Square—Special(1.3/0.92/0.57/1.89/0.72)+Noise
 --- (60) Square—Special(1.39/0.91/0.46/1.98/0.88)+Noise
 --- (60) Square—Special(1.69/0.93/0.69/1.64/0.87)+Noise
 --- (60) Square—Special(1.4/0.96/0.06/1.72/0.88)+Noise
 --- (44) JFA (original)
 --- bruteforce

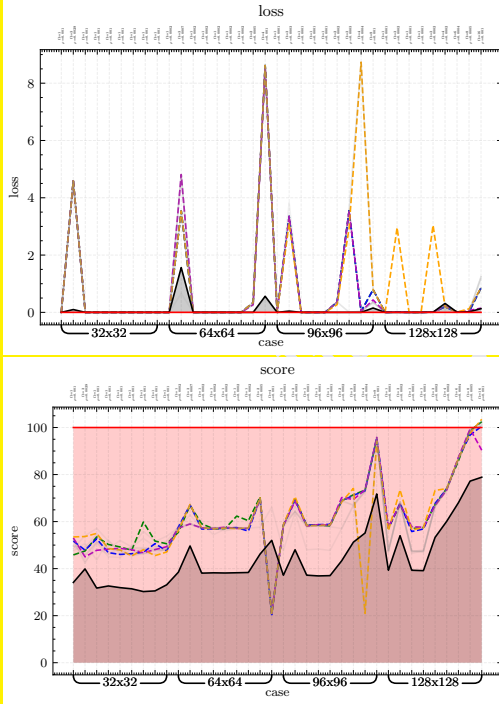


Fig. 4. Low Density

--- (128) Square—Special(1.07/0.24/0.9/1.88/0.64)
 --- (120) Square—Star
 --- (112) Square—Special(1.15/0.08/0.13/1.61/1.0)
 --- (112) Square—Star+Noise
 --- (111) Square—Factor3+Noise
 --- (110) Square—Special(1.26/0.4/0.74/1.42/0.76)
 --- (104) Square—Special(1.02/0.71/0.94/1.55/0.78)+Noise
 --- (102) Square—Special(1.1/0.76/0.54/1.46/0.85)+Noise
 --- (97) Square—Special(1.1/0.48/0.04/1.55/0.82)+Noise
 --- (97) Square—Default+Noise
 --- (96) Square—Factor3
 --- (76) SquareDual(1/3)—Special(1.05/0.87/0.37/1.92/0.99)+Noise
 --- (111) JFA (original)
 --- bruteforce

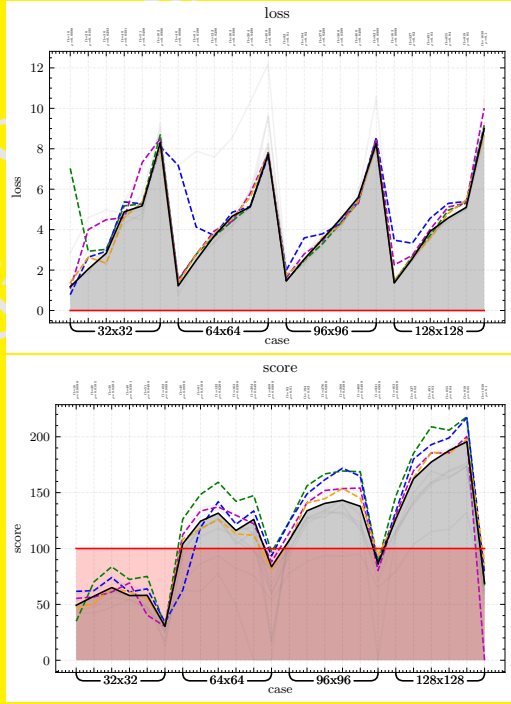


Fig. 5. High Density

5.2.2 *Medium Shape*: 256×256 , 320×320 , 384×384 , 448×448 .

5.2.3 *Large Shape*: 512×512 , 768×768 , 1024×1024 , 1536×1536 .

5.2.4 *Low Density*.

5.2.5 *High Density*.

5.3 Ensemble of Domain-specific (VoroTron)

bla bla

5.4 Objectives

naprawic generowanie tego wykresu napisac co nie moze byc uzyte z czym?
czyli co ma wplyw na co (w sumie to najwazniejsze mialo byc w pracy)

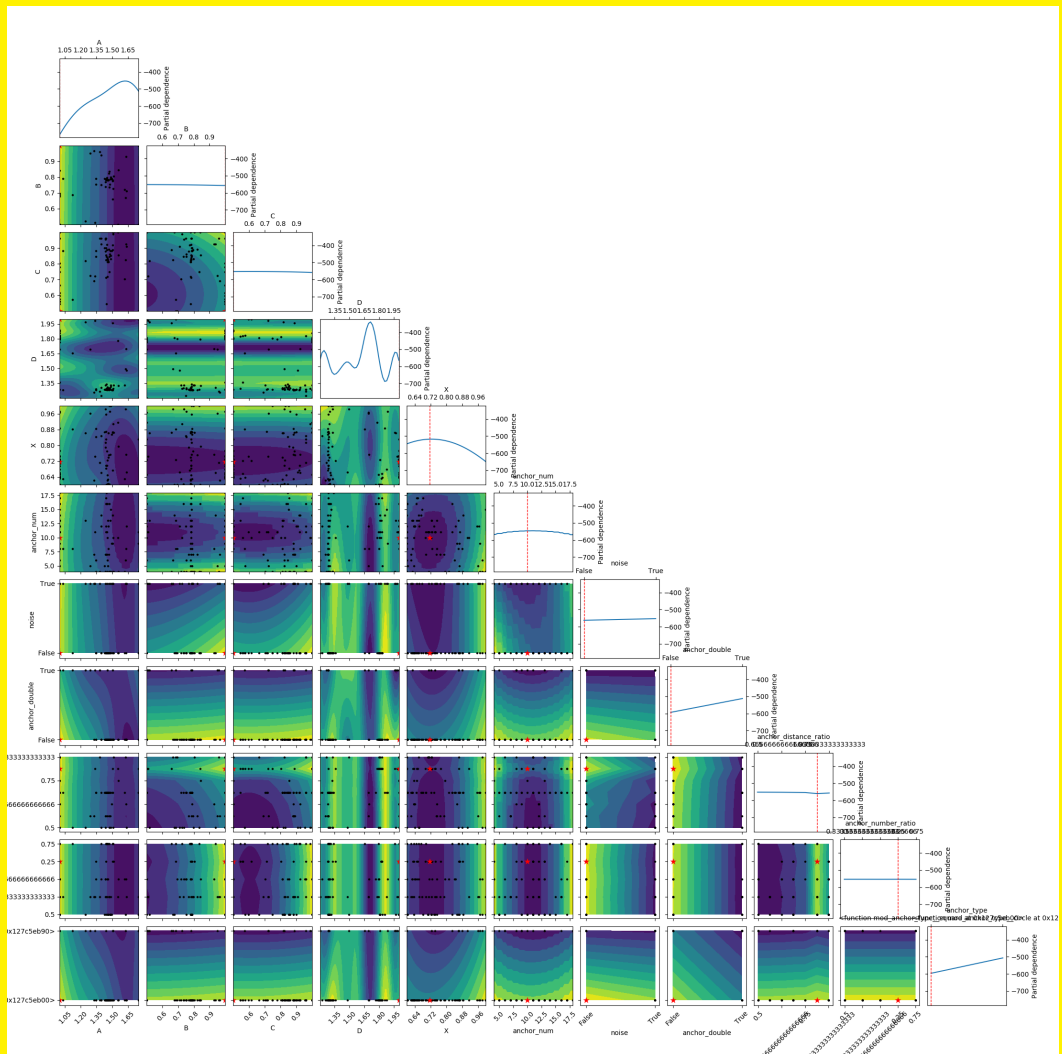


Fig. 6. bla bla bla

6 PRACTICAL USAGE

polaczyc z Conclusions

Jest wiele projektów które potrzebują DT lub voronoi-a. Jedyne dwa praktyczne przykłady z tej pracy to SOTA dla JFA - czyli JFAstar, oraz praktyczny Ensemble (uwzględniający np. bruteforce dla małych instancji).

7 CONCLUSIONS

This paper presents the GPU's effective, almost constant, algorithm for calculating the Euclidean distance transform (DT) approximation for 2D and higher dimensional images. As mentioned in [2], it remains challenging to balance the workload in such an approach. *Vorotron* does not explicitly solve this issue but, by constructing an alternative solution utilizing random shortcuts and parameter estimation, it makes it a reasonable approximation. In practice, such a constant time algorithm is useful in many interactive applications, such as tessellations, rendering, and image processing, involving [9].

8 ACKNOWLEDGEMENTS

Dziękuję swojemu psu! Dziękuję swojemu psu! Dziękuję swojemu psu! Dziękuję swojemu psu! Dziękuję swojemu psu! Dziękuję swojemu psu! Dziękuję swojemu psu! Dziękuję swojemu psu! Dziękuję swojemu psu! Dziękuję swojemu psu! Dziękuję swojemu psu! Dziękuję swojemu psu! Dziękuję swojemu psu! Dziękuję swojemu psu! Dziękuję swojemu psu! Dziękuję swojemu psu! Dziękuję swojemu psu! Dziękuję swojemu psu! Dziękuję swojemu psu!

REFERENCES

- [1] Matej Balog, Alexander L Gaunt, Marc Brockschmidt, Sebastian Nowozin, and Daniel Tarlow. 2016. Deepcoder: Learning to write programs. *arXiv preprint arXiv:1611.01989* (2016).
- [2] Thanh-Tung Cao, Ke Tang, Anis Mohamed, and Tiow-Seng Tan. 2010. Parallel banding algorithm to compute exact distance transform with the GPU. In *Proceedings of the 2010 ACM SIGGRAPH symposium on Interactive 3D Graphics and Games*. 83–90.
- [3] Francisco de Assis Zampiroli and Leonardo Filipe. 2017. A fast CUDA-based implementation for the Euclidean distance transform. In *2017 International Conference on High Performance Computing & Simulation (HPCS)*. IEEE, 815–818.
- [4] Ian Fischer and Craig Gotsman. 2006. Fast approximation of high-order Voronoi diagrams and distance transforms on the GPU. *Journal of Graphics Tools* 11, 4 (2006), 39–60.
- [5] Kenneth E Hoff III, John Keyser, Ming Lin, Dinesh Manocha, and Tim Culver. 1999. Fast computation of generalized Voronoi diagrams using graphics hardware. In *Proceedings of the 26th annual conference on Computer graphics and interactive techniques*. 277–286.
- [6] Takumi Honda, Shinnosuke Yamamoto, Hiroaki Honda, Koji Nakano, and Yasuaki Ito. 2017. Simple and fast parallel algorithms for the Voronoi map and the Euclidean distance map, with GPU implementations. In *2017 46th International Conference on Parallel Processing (ICPP)*. IEEE, 362–371.
- [7] Manduhu Manduhu and Mark W Jones. 2019. A work efficient parallel Algorithm for exact Euclidean distance transform. *IEEE Transactions on Image Processing* 28, 11 (2019), 5322–5335.
- [8] Yewen Pu, Zachery Miranda, Armando Solar-Lezama, and Leslie Kaelbling. 2018. Selecting representative examples for program synthesis. In *International Conference on Machine Learning*. PMLR, 4161–4170.
- [9] Guodong Rong and Tiow-Seng Tan. 2006. Jump flooding in GPU with applications to Voronoi diagram and distance transform. In *Proceedings of the 2006 symposium on Interactive 3D graphics and games*. 109–116.
- [10] Guodong Rong and Tiow-Seng Tan. 2007. Variants of jump flooding algorithm for computing discrete Voronoi diagrams. In *4th International Symposium on Voronoi Diagrams in Science and Engineering (ISVD 2007)*. IEEE, 176–181.
- [11] Jens Schneider, Martin Kraus, and Rüdiger Westermann. 2009. GPU-based real-time discrete Euclidean distance transforms with precise error bounds.. In *VISAPP (1)*. 435–442.
- [12] Avneesh Sud, Naga Govindaraju, Russell Gayle, and Dinesh Manocha. 2006. Interactive 3D distance field computation using linear factorization. In *Proceedings of the 2006 symposium on Interactive 3D graphics and games*. 117–124.
- [13] Zhan Yuan, Guodong Rong, Xiaohu Guo, and Wenping Wang. 2011. Generalized Voronoi diagram computation on GPU. In *2011 Eighth International Symposium on Voronoi Diagrams in Science and Engineering*. IEEE, 75–82.